

НОВОСИБИРСКИЙ ГОСУДАРСТВЕННЫЙ ТЕХНИЧЕСКИЙ УНИВЕРСИТЕТ
Кафедра прикладной математики

КУРСОВОЙ ПРОЕКТ

Метод конечных элементов для эллиптических задач

ФПМИ, ПМ-24

Параскун И.

преподаватели

Рояк М. Э., д.т.н., профессор
Сивенкова А. П., ассистент

Новосибирск, 2024

Содержание

1	Постановка задачи	3
2	Теоретическая часть	3
2.1	Вариационная постановка	3
2.2	Конечноэлементная СЛАУ	4
2.3	Трилинейные базисные функции	4
2.4	Элементы локальных матриц	5
2.5	Элементы локальных векторов	6
3	Описание разработанных программ	7
3.1	Узел	7
3.2	Конечный элемент	7
3.3	Грань	8
3.4	Структура алгоритма	10
4	Описание тестирования программ	11
4.1	Тестирование на одном конечном элементе	11
4.1.1	Описание задачи	11
4.1.2	Подпрограмма тестирования	12
4.1.3	Результат	14
4.2	Тестирование на сетке с разрывом коэффициентов	14
4.2.1	Описание задачи	14
4.3	Тестирование на сетке с внутренним узлом	16
4.3.1	Описание задачи	16
5	Проведенные исследования и выводы	17
6	Тексты основных модулей программ	17

1 Постановка задачи

Построить МКЭ для уравнения эллиптического типа

$$-\nabla(\lambda \nabla u) + \gamma u = f, \quad f = \frac{\partial g}{\partial x} \quad (1)$$

в декартовой системе координат

$$-\frac{\partial}{\partial x}(\lambda \frac{\partial u}{\partial x}) - \frac{\partial}{\partial y}(\lambda \frac{\partial u}{\partial y}) - \frac{\partial}{\partial z}(\lambda \frac{\partial u}{\partial z}) + \gamma u = f \quad (2)$$

с учётом следующих условий:

- Краевые условия всех типов:

$$u|_{S_1} = u_g \quad (3)$$

$$\lambda \frac{\partial u}{\partial n} \Big|_{S_2} = \theta \quad (4)$$

$$\lambda \frac{\partial u}{\partial n} \Big|_{S_3} + \beta(u|_{S_3} - u\beta) = 0 \quad (5)$$

- Базисные функции - линейные на прямоугольных параллелепипедах.
- Коэффициент диффузии - кусочно-постоянная функция.
- Матрицы в разреженном строчном формате.
- Решение СЛАУ с использованием ЛОС с ILU факторизацией.

2 Теоретическая часть

2.1 Вариационная постановка

Эквивалентная вариационная постановка в форме уравнения Галёркина для уравнения 1:

$$\begin{aligned} \int_{\Omega} \lambda \nabla u \cdot \nabla v_0 d\Omega + \int_{\Omega} \gamma u v_0 d\Omega + \int_{S_3} \beta u v_0 dS = \\ = \int_{\Omega} f v_0 d\Omega + \int_{S_2} \theta v_0 dS + \int_{S_3} \beta u_{\beta} v_0 dS, \quad \forall v_0 \in H_0^1 \end{aligned} \quad (6)$$

Аппроксимация уравнения 6 на конечномерных подпространствах V_g^h и V_0^h получается заменой функций $u \in H_g^1$ и $v_0 \in H_0^1$ на функции $u^h \in V_g^h$ и $v_0^h \in V_0^h$ соответственно:

$$\begin{aligned} \int_{\Omega} \lambda \nabla u^h \cdot \nabla v_0^h d\Omega + \int_{\Omega} \gamma u^h v_0^h d\Omega + \int_{S_3} \beta u^h v_0^h dS = \\ = \int_{\Omega} f v_0^h d\Omega + \int_{S_2} \theta v_0^h dS + \int_{S_3} \beta u_{\beta} v_0^h dS, \quad \forall v_0^h \in V_0^h \end{aligned} \quad (7)$$

2.2 Конечноэлементная СЛАУ

Раскладывая функции u^h и v_0^h по базису, переходим к конечноэлементной СЛАУ

$$\begin{aligned} \sum_{j=1}^n \left(\int_{\Omega} \lambda \nabla \psi_j \cdot \nabla \psi_i d\Omega + \int_{\Omega} \gamma \psi_j \psi_i d\Omega + \int_{S_3} \beta \psi_j \psi_i dS \right) q_j = \\ = \int_{\Omega} f \psi_i d\Omega + \int_{S_2} \theta \psi_i dS + \int_{S_3} \beta u_{\beta} \psi_i dS, \quad i \in N_0 \end{aligned} \quad (8)$$

$$\sum_j (q_j \psi_j) \Big|_{S_1} = u_g \quad (9)$$

или в матричном виде

$$\mathbf{A} \mathbf{q} = \mathbf{b} \quad (10)$$

где компоненты матрицы \mathbf{A} и вектора \mathbf{b} определяются соотношениями

$$A_{ij} = \begin{cases} \int_{\Omega} \lambda \nabla \psi_j \cdot \nabla \psi_i d\Omega + \int_{\Omega} \gamma \psi_j \psi_i d\Omega + \int_{S_3} \beta \psi_j \psi_i dS & i \in N_0 \\ \delta_{ij} & i \notin N_0 \end{cases} \quad (11)$$

$$b_i = \begin{cases} \int_{\Omega} f \psi_i d\Omega + \int_{S_2} \theta \psi_i dS + \int_{S_3} \beta u_{\beta} \psi_i dS & i \in N_0 \\ u_g(\mathbf{x}_i) & i \notin N_0 \end{cases} \quad (12)$$

Преобразование в сумму интегралов по конечным элементам даёт более удобную форму записи:

$$G_{ij} = \int_{\Omega} \lambda \nabla \psi_i \cdot \nabla \psi_j d\Omega = \sum_k \int_{\Omega_k} \lambda \nabla \psi_i \cdot \nabla \psi_j d\Omega \quad (13)$$

$$M_{ij} = \int_{\Omega} \gamma \psi_i \psi_j d\Omega = \sum_k \int_{\Omega_k} \gamma \psi_i \psi_j d\Omega \quad (14)$$

$$M_{ij}^{S_3} = \int_{S_3} \beta \psi_i \psi_j dS = \sum_l \int_{S_3^l} \beta \psi_i \psi_j dS \quad (15)$$

$$b_i = \int_{\Omega} f \psi_i d\Omega = \sum_k \int_{\Omega_k} f \psi_i d\Omega \quad (16)$$

$$b_i^{S_2} = \int_{S_2} \theta \psi_i dS = \sum_p \int_{S_2^p} \theta \psi_i dS \quad (17)$$

$$b_i^{S_3} = \int_{S_3} \beta u_{\beta} \psi_i dS = \sum_l \int_{S_3^l} \beta u_{\beta} \psi_i dS \quad (18)$$

2.3 Трилинейные базисные функции

Трилинейные базисные функции на прямоугольном параллелепипеде Ω_{pst} строятся следующим образом:

$$X_1(x) = \frac{x_{p+1} - x}{h_x}, \quad X_2(x) = \frac{x - x_p}{h_x}, \quad h_x = x_{p+1} - x_p, \quad (19)$$

$$Y_1(y) = \frac{y_{s+1} - y}{h_y}, \quad Y_2(y) = \frac{y - y_s}{h_y}, \quad h_y = y_{s+1} - y_s, \quad (20)$$

$$Z_1(z) = \frac{z_{r+1} - z}{h_z}, \quad Z_2(z) = \frac{z - z_r}{h_z}, \quad h_z = z_{r+1} - z_r. \quad (21)$$

Локальные базисные функции представляются в виде произведения функций 19, 20 и 21:

$$\hat{\psi}_i = X_{\mu(i)} Y_{\nu(i)} Z_{\vartheta(i)} \quad (22)$$

где

$$\mu(i) = ((i - 1) \bmod 2) + 1 \quad (23)$$

$$\nu(i) = \left(\left[\frac{i - 1}{2} \right] \bmod 2 \right) + 1 \quad (24)$$

$$\vartheta(i) = \left[\frac{i - 1}{4} \right] + 1 \quad (25)$$

2.4 Элементы локальных матриц

Выражение для вычисления компонент локальных матриц на прямоугольном параллелепипеде Ω_{psr} :

$$\hat{G}_{ij} = \int_{x_p}^{x_{p+1}} \int_{y_s}^{y_{s+1}} \int_{z_r}^{z_{r+1}} \lambda \left(\frac{\partial \hat{\psi}_i}{\partial x} \frac{\partial \hat{\psi}_j}{\partial x} + \frac{\partial \hat{\psi}_i}{\partial y} \frac{\partial \hat{\psi}_j}{\partial y} + \frac{\partial \hat{\psi}_i}{\partial z} \frac{\partial \hat{\psi}_j}{\partial z} \right) dx dy dz \quad (26)$$

$$\hat{M}_{ij} = \int_{x_p}^{x_{p+1}} \int_{y_s}^{y_{s+1}} \int_{z_r}^{z_{r+1}} \gamma \hat{\psi}_i \hat{\psi}_j dx dy dz \quad (27)$$

$$\hat{M}_{ij}^{S_3} = \int_{\xi_1}^{\xi_2} \int_{\zeta_1}^{\zeta_2} \beta \psi_i \psi_j d\xi d\zeta \quad (28)$$

Учитывая вид базисных функций 22:

$$\begin{aligned} \hat{\mathbf{G}}^x &= \frac{1}{h_x} \mathbf{G}^c & \hat{\mathbf{M}}^x &= h_x \mathbf{M}^c \\ \hat{\mathbf{G}}^y &= \frac{1}{h_y} \mathbf{G}^c & \hat{\mathbf{M}}^y &= h_y \mathbf{M}^c \\ \hat{\mathbf{G}}^z &= \frac{1}{h_z} \mathbf{G}^c & \hat{\mathbf{M}}^z &= h_z \mathbf{M}^c \end{aligned}$$

где

$$\mathbf{G}^c = \begin{pmatrix} 1 & -1 \\ -1 & 1 \end{pmatrix} \quad \mathbf{M}^c = \frac{1}{6} \begin{pmatrix} 2 & 1 \\ 1 & 2 \end{pmatrix} \quad (29)$$

Тогда

$$\begin{aligned}\hat{G}_{ij} = & \hat{\lambda}(\hat{G}_{\mu(i)\mu(j)}^x \hat{M}_{\nu(i)\nu(j)}^y \hat{M}_{\vartheta(i)\vartheta(j)}^z + \\ & \hat{M}_{\mu(i)\mu(j)}^x \hat{G}_{\nu(i)\nu(j)}^y \hat{M}_{\vartheta(i)\vartheta(j)}^z + \\ & \hat{M}_{\mu(i)\mu(j)}^x \hat{M}_{\nu(i)\nu(j)}^y \hat{G}_{\vartheta(i)\vartheta(j)}^z)\end{aligned}\quad (30)$$

$$\hat{M}_{ij} = \hat{\gamma}(\hat{M}_{\mu(i)\mu(j)}^x \hat{M}_{\nu(i)\nu(j)}^y \hat{M}_{\vartheta(i)\vartheta(j)}^z) \quad (31)$$

$$\hat{M}_{ij}^{S_3} = \hat{\beta}(\hat{M}_{\mu(i)\mu(j)}^\xi \hat{M}_{\nu(i)\nu(j)}^\zeta) \quad (32)$$

2.5 Элементы локальных векторов

Выражение для вычисления компонент локальных векторов на прямоугольном параллелепипеде Ω_{pstr} :

$$\begin{aligned}\hat{b}_i &= \int_{x_p}^{x_{p+1}} \int_{y_s}^{y_{s+1}} \int_{z_r}^{z_{r+1}} f \hat{\psi}_i dx dy dz \\ &= \sum_j \hat{q}_j^g \int_{x_p}^{x_{p+1}} \int_{y_s}^{y_{s+1}} \int_{z_r}^{z_{r+1}} \frac{\partial \hat{\psi}_j}{\partial x} \hat{\psi}_i dx dy dz\end{aligned}\quad (33)$$

Учитывая вид базисных функций 22:

$$\begin{aligned}\hat{b}_i &= \sum_j \hat{q}_j^g \int_{x_p}^{x_{p+1}} X_{\mu(i)} \frac{\partial X_{\mu(j)}}{\partial x} dx \int_{y_s}^{y_{s+1}} Y_{\nu(i)} Y_{\nu(j)} dy \int_{z_r}^{z_{r+1}} Z_{\vartheta(i)} Z_{\vartheta(j)} dz = \\ &= \sum_j \hat{q}_j^g X_{\mu(i)\mu(j)} \hat{M}_{\nu(i)\nu(j)}^y \hat{M}_{\vartheta(i)\vartheta(j)}^z\end{aligned}\quad (34)$$

где

$$\mathbf{X} = \begin{pmatrix} -\frac{1}{2} & \frac{1}{2} \\ -\frac{1}{2} & \frac{1}{2} \end{pmatrix} \quad (35)$$

Для правой части, заданной в явном виде:

$$\begin{aligned}\hat{b}_i &= \sum_j \hat{f}_j \int_{x_p}^{x_{p+1}} X_{\mu(i)} Y_{\mu(j)} dx \int_{y_s}^{y_{s+1}} Y_{\nu(i)} Y_{\nu(j)} dy \int_{z_r}^{z_{r+1}} Z_{\vartheta(i)} Z_{\vartheta(j)} dz = \\ &= \sum_j \hat{f}_j \hat{M}_{\mu(i)\mu(j)}^x \hat{M}_{\nu(i)\nu(j)}^y \hat{M}_{\vartheta(i)\vartheta(j)}^z\end{aligned}\quad (36)$$

Вклад краевых условий 17 и 18:

$$\hat{b}_i^{S_2} = \int_{\xi_1}^{\xi_2} \int_{\zeta_1}^{\zeta_2} \hat{\theta} \psi_i d\xi d\zeta \quad (37)$$

$$\hat{b}_i^{S_3} = \int_{\xi_1}^{\xi_2} \int_{\zeta_1}^{\zeta_2} \hat{\beta} \hat{u}_\beta \psi_i d\xi d\zeta \quad (38)$$

$$\hat{g}^{ip} = \sum_{i=1}^8 g(\hat{x}_i, \hat{y}_i, \hat{z}_i) \hat{\psi}_i(x, y, z) = \sum_{i=1}^8 \hat{g}_i^g \hat{\psi}_i(x, y, z) \quad (39)$$

$$\hat{\theta}^{ip} = \sum_{i=1}^4 \hat{\theta}(\hat{x}_i, \hat{y}_i, \hat{z}_i) \hat{\psi}_i(x, y, z) = \sum_{i=1}^4 \hat{\theta}_i \hat{\psi}_i(x, y, z) \quad (40)$$

$$\hat{u}_{\beta}^{ip} = \sum_{i=1}^4 \hat{u}_{\beta}(\hat{x}_i, \hat{y}_i, \hat{z}_i) \hat{\psi}_i(x, y, z) = \sum_{i=1}^4 \hat{u}_{\beta i} \hat{\psi}_i(x, y, z) \quad (41)$$

$$\begin{aligned} \hat{b}_i^{S_2} = & \hat{\theta}_1 \hat{M}_{\mu(i)\mu(1)}^{\xi} \hat{M}_{\nu(i)\nu(1)}^{\chi} + \hat{\theta}_2 \hat{M}_{\mu(i)\mu(2)}^{\xi} \hat{M}_{\nu(i)\nu(2)}^{\chi} + \\ & + \hat{\theta}_3 \hat{M}_{\mu(i)\mu(3)}^{\xi} \hat{M}_{\nu(i)\nu(3)}^{\chi} + \hat{\theta}_4 \hat{M}_{\mu(i)\mu(4)}^{\xi} \hat{M}_{\nu(i)\nu(4)}^{\chi} \end{aligned} \quad (42)$$

$$\begin{aligned} \hat{b}_i^{S_3} = & \hat{\beta}(\hat{u}_{\beta 1} \hat{M}_{\mu(i)\mu(1)}^{\xi} \hat{M}_{\nu(i)\nu(1)}^{\chi} + \hat{u}_{\beta 2} \hat{M}_{\mu(i)\mu(2)}^{\xi} \hat{M}_{\nu(i)\nu(2)}^{\chi} + \\ & + \hat{u}_{\beta 3} \hat{M}_{\mu(i)\mu(3)}^{\xi} \hat{M}_{\nu(i)\nu(3)}^{\chi} + \hat{u}_{\beta 4} \hat{M}_{\mu(i)\mu(4)}^{\xi} \hat{M}_{\nu(i)\nu(4)}^{\chi}) \end{aligned} \quad (43)$$

3 Описание разработанных программ

3.1 Узел

```
// Узел
struct vtx {
    // Координата по X
    double x;

    // Координата по Y
    double y;

    // Координата по Z
    double z;
};

// Подпрограмма выделения памяти под узел
struct vtx* vtx_new();

// Подпрограмма чтения узла из строки
struct vtx* vtx_get(const char* buf);
```

3.2 Конечный элемент

```
// Прямоугольный параллелепипед
struct hex {
    // Список из глобальных номеров узлов, составляющих данный элемент
    int vtx[8];

    // Параметры
    struct {
        // Функция правой части
```

```

    double (*f)(struct vtx*);

    double lam;
    double gam;
} pps;

// Локальные матрица и вектор правой части
struct {
    // Локальная матрица
    struct mtx* m;

    // Локальная правая часть
    struct vec* b;
} loc;
};

// Подпрограмма выделения памяти под элемент
struct hex* hex_new();

// Подпрограмма чтения элемента из строки
// fun - список глобальных функций
struct hex* hex_get(const char* buf, double (**fun)(struct vtx*));

// Подпрограмма вычисления локальной матрицы и вектора правой части
// v - глобальный список узлов
int hex_evo(struct hex* h, struct vtx** v);

// Подпрограмма занесения локальной матрицы
// и вектора правой части в глобальную СЛАУ

```

3.3 Грань

```

// Тип краевых условий
// DIR - краевые условия первого типа (Дирихле)
// NEU - краевые условия второго типа (Неймана)
// ROB - краевые условия третьего типа (Робена)
enum type { DIR, NEU, ROB };

// Краевые условия
struct cnd {
    // Тип
    enum type type;

    // Параметры
    union pps {
        // Параметры для условий первого рода
        struct {
            double (*tmp)(struct vtx* v);

```



```

    } dir;

    // Параметры для условий второго рода
    struct {
        double (*tta)(struct vtx* v);
    } neu;

    // Параметры для условий третьего рода
    struct {
        double (*tmp)(struct vtx* v);
        double bet;
    } rob;
} pps;
};

// Грань
struct fce {
    // Список из глобальных номеров узлов, составляющих данную грань
    int vtx[4];

    // Краевые условия
    struct cnd cnd;

    // Локальные матрица и / или вектор правой части
    union loc {
        // Локальный вектор правой части для условий второго рода
        struct {
            struct vec* b;
        } neu;

        // Локальные матрица и вектор правой части для условий третьего рода
        struct {
            struct vec* b;
            struct mtx* m;
        } rob;
    } loc;
};

// Подпрограмма выделения памяти под грань
struct fce* fce_new(enum type type);

// Подпрограмма чтения грани из строки
// fun - список глобальных функций
struct fce* fce_get(const char* buf, double (**fun)(struct vtx*));

// Подпрограмма вычисления локальной матрицы и вектора правой части
// v - глобальный список узлов
int fce_evo(struct fce* f, struct vtx** v);

```

```

// Подпрограмма занесения локальной матрицы
// и вектора правой части в глобальную СЛАУ
// a - матрица глобальной СЛАУ в строчно-столбцовом формате
// b - вектор правой части глобальной СЛАУ
int fce_mov(struct fce* f, struct mtx_csj* a, struct vec* b);

```

3.4 Структура алгоритма

```

// Структура алгоритма
struct fem {
    int vs; // Количество вершин
    int hs; // Количество элементов
    int fs; // Количество граней

    // Список вершин
    struct vtx** vtx;

    // Список элементов
    struct hex** hex;

    // Список граней
    struct fce** fce;

    // Параметры
    struct {
        // Список функций
        double (**fun)(struct vtx*);
    } pps;

    // Матрица СЛАУ
    struct mtx_csj* a;

    // Вектор правой части СЛАУ
    struct vec* b;
};

// Подпрограмма выделения памяти
struct fem* fem_new(double (**fun)(struct vtx*));

// Подпрограмма инициализации из файла
int fem_get(FILE* obj, struct fem* fem);

// Подпрограмма вычисления локальных матриц и векторов
// конечных элементов и граней с заданными краевыми
// условиями
int fem_evo(struct fem* fem);

```

```

// Подпрограмма сборки СЛАУ
int fem_asm(struct fem* fem);

// Подпрограмма решения СЛАУ
// q - результирующий вектор
int fem_slv(struct fem* fem, struct vec* q);

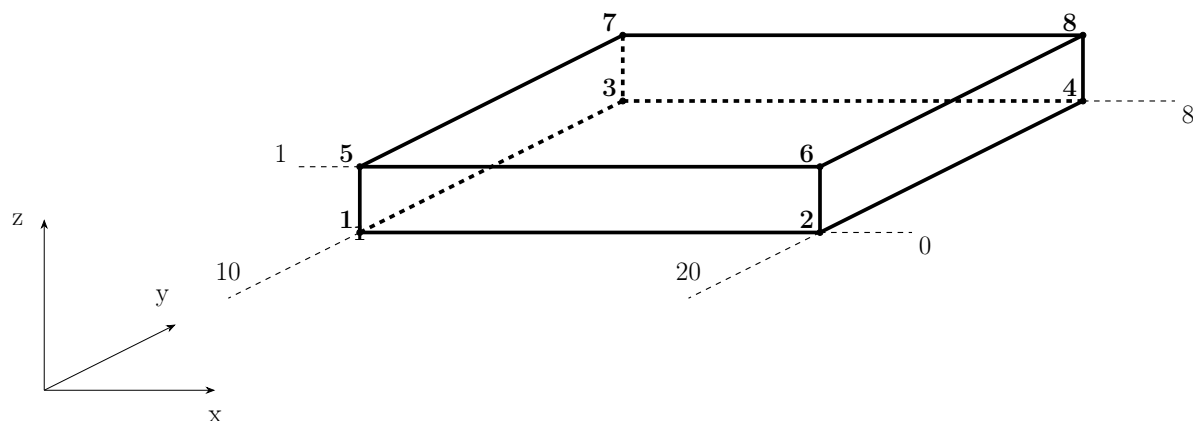
```

4 Описание тестирования программ

4.1 Тестирование на одном конечном элементе

4.1.1 Описание задачи

Простейшая расчетная область для тестирования трилинейных элементов выглядит следующим образом:



где

$$S_2^1 = [1, 3, 5, 7]$$

$$S_2^2 = [3, 4, 7, 8]$$

$$S_2^3 = [5, 6, 7, 8]$$

$$S_3^1 = [2, 4, 6, 8]$$

$$S_3^2 = [1, 2, 5, 6]$$

$$S_3^3 = [1, 2, 3, 4]$$

Значения коэффициентов λ и γ выбраны в виде:

$$\lambda = 5 \qquad \qquad \qquad \gamma = 0.4 \qquad (44)$$

Решение - полином вида

$$u = 5 + 0.2x + y + 30z + 0.5xy + xz + 10yz + xyz \qquad (45)$$

Исходя из этого

$$f = 0.4(5 + 0.2x + y + 30z + 0.5xy + xz + 10yz + xyz) \quad (46)$$

$$g = 2x + 0.04x^2 + 0.4xy + 12xz + 0.1x^2y + 0.2x^2z + 4xyz + 0.2x^2yz \quad (47)$$

$$\theta|_{S_2^1} = -1 - 2.5y - 5z - 5yz \quad (48)$$

$$\theta|_{S_2^2} = 5 + 2.5x + 50z + 5xz \quad (49)$$

$$\theta|_{S_2^3} = 150 + 5x + 50y + 5xy \quad (50)$$

При условии, что $\beta = 10$:

$$u_\beta|_{S_3^1} = 9.1 + 11.25y + 50.5z + 30.5yz \quad (51)$$

$$u_\beta|_{S_3^2} = 4.5 - 0.05x + 25z + 0.5xz \quad (52)$$

$$u_\beta|_{S_3^3} = -10 - 0.3x - 4y \quad (53)$$

4.1.2 Подпрограмма тестирования

```
class SolidStateEquationSingleElementTest : public testing::Test {
public:
    static double f(struct vtx* v) {
        double x = v->x;
        double y = v->y;
        double z = v->z;

        return 0.4 * (5 + 0.2 * x + y + 30 * z + 0.5 * x * y + x * z + 10 * y * z +
                      x * y * z);
    }

    static double g(struct vtx* v) {
        double x = v->x;
        double y = v->y;
        double z = v->z;

        return 2 * x + 0.04 * x * x + 0.4 * x * y + 12 * x * z + 0.1 * x * x * y +
               0.2 * x * x * z + 4 * x * y * z + 0.2 * x * x * y * z;
    }

    static double tta1(struct vtx* v) {
        double y = v->y;
        double z = v->z;

        return -1 - 2.5 * y - 5 * z - 5 * y * z;
    }

    static double tta2(struct vtx* v) {
        double x = v->x;
        double z = v->z;
```

```

    return 5 + 2.5 * x + 50 * z + 5 * x * z;
}

static double tta3(struct vtx* v) {
    double x = v->x;
    double y = v->y;

    return 150 + 5 * x + 50 * y + 5 * x * y;
}

static double tmp1(struct vtx* v) {
    double y = v->y;
    double z = v->z;

    return 9.1 + 11.25 * y + 50.5 * z + 30.5 * y * z;
}

static double tmp2(struct vtx* v) {
    double x = v->x;
    double z = v->z;

    return 4.5 - 0.05 * x + 25 * z + 0.5 * x * z;
}

static double tmp3(struct vtx* v) {
    double x = v->x;
    double y = v->y;

    return -10 - 0.3 * x - 4 * y;
}

double (*fun[7])(struct vtx*) = {&f,    &tta1, &tta2, &tta3,
                                &tmp1, &tmp2, &tmp3};
};

TEST_F(SolidStateEquationSingleElementTest, GeneralTest) {
    struct fem* fem = fem_new(fun);

    fem_get(Env::obj, fem);
    fem_evo(fem);
    fem_asm(fem);

    struct vec* q = vec_new(fem->vs);

    fem_slv(fem, q);

    mtx_csj_put(&Env::pkt.mtx, fem->a);
    vec_put(Env::pkt.pkt.f, fem->b);

```

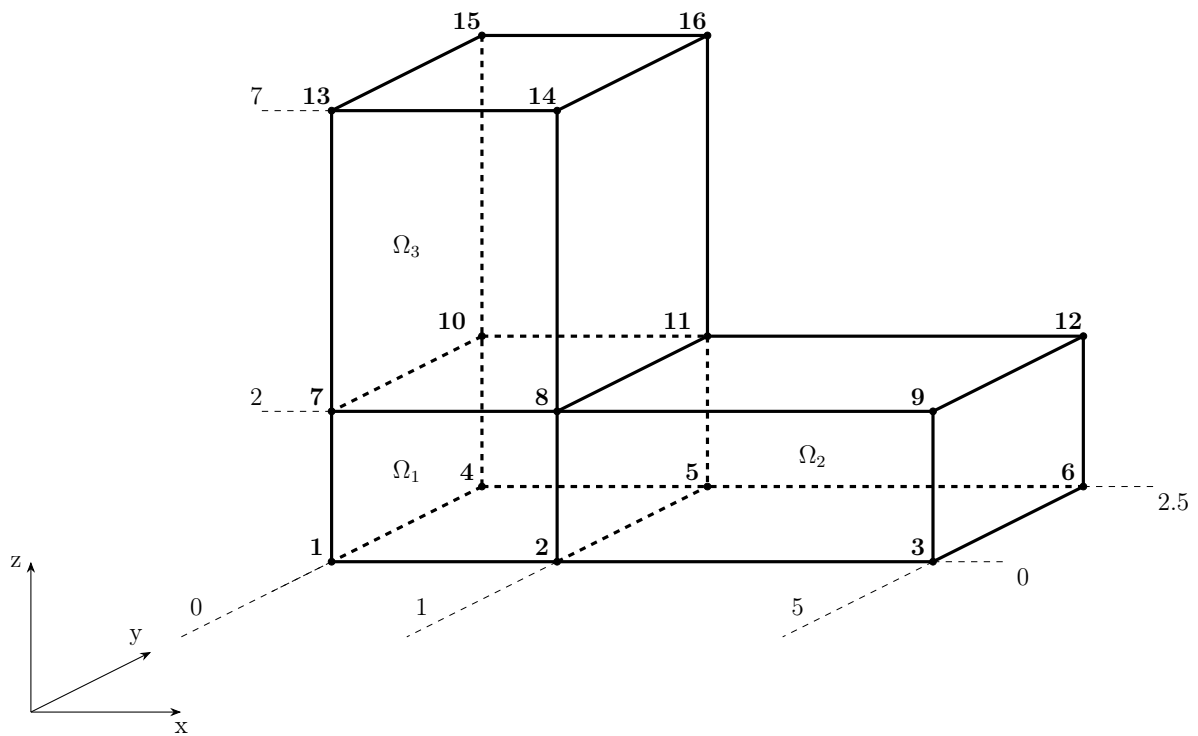
}

4.1.3 Результат

7.0000000e+00
9.0000000e+00
5.5000000e+01
9.7000000e+01
4.7000000e+01
5.9000000e+01
2.5500000e+02
3.8700000e+02

4.2 Тестирование на сетке с разрывом коэффициентов

4.2.1 Описание задачи



Значения коэффициентов λ и γ выбраны в виде:

$$\lambda = \begin{cases} 1, & \Omega^1 \\ 2, & \Omega^2 \\ \frac{2}{3}, & \Omega^3 \end{cases} \quad \gamma = \begin{cases} 4, & \Omega^1 \\ 0, & \Omega^2 \\ 1, & \Omega^3 \end{cases}$$

Решение - полином вида

$$u = \begin{cases} 2x(yz + z + y + 1), & \Omega^1 \\ 1 + x + y + z + xy + xz + yz + xyz, & \Omega^2 \\ 3xz(y + 1), & \Omega^3 \end{cases}$$

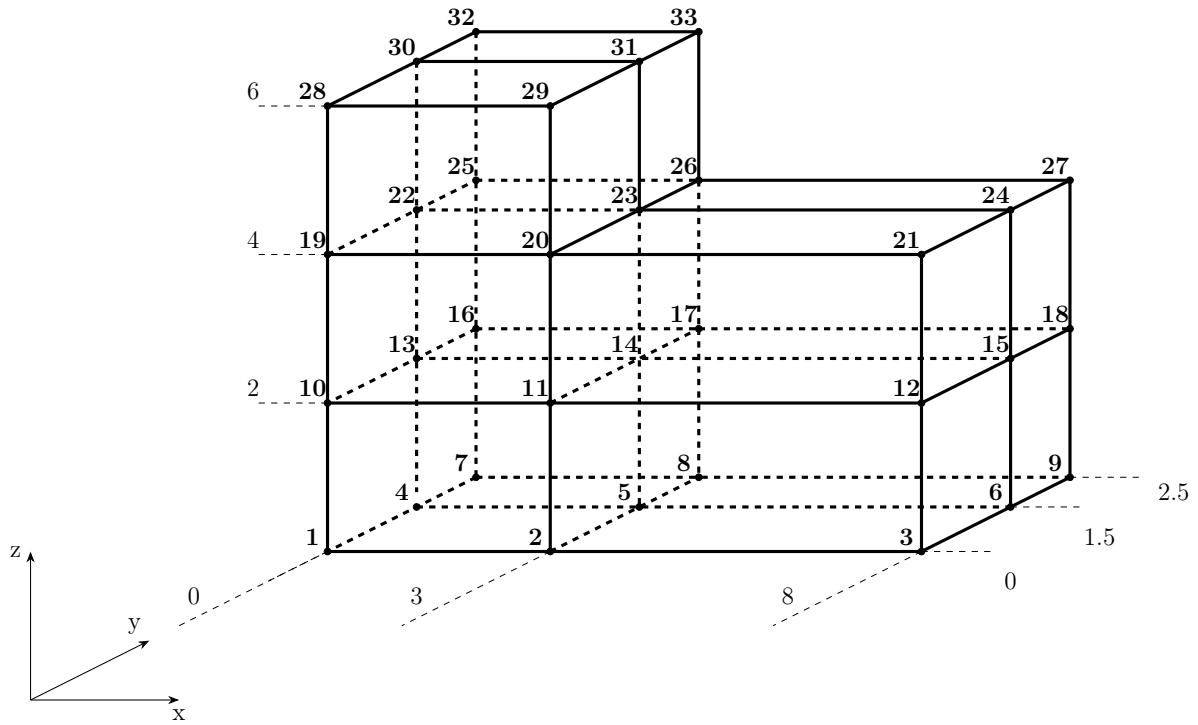
При условии, что $\beta = 2$:

$S_1 = [1, 4, 7, 10, 13, 15]$	$u _{S_1} = 0$
$S_2^1 = [1, 2, 7, 8]$	$\theta _{S_2^1} = -2x(z + 1)$
$S_2^2 = [7, 8, 13, 14]$	$\theta _{S_2^2} = -2xz$
$S_2^3 = [2, 3, 8, 9]$	$\theta _{S_2^3} = -2(1 + x + z + xz)$
$S_2^4 = [3, 6, 9, 12]$	$\theta _{S_2^4} = 2(1 + y + z + yz)$
$S_2^5 = [8, 9, 11, 12]$	$\theta _{S_2^5} = 2(1 + x + y + xy)$
$S_2^6 = [8, 11, 14, 16]$	$\theta _{S_2^6} = 2z(1 + y)$
$S_2^7 = [13, 14, 15, 16]$	$\theta _{S_2^7} = 2x(1 + y)$
$S_2^8 = [1, 2, 4, 5]$	$\theta _{S_2^8} = -2x(1 + y)$
$S_2^9 = [2, 3, 5, 6]$	$\theta _{S_2^9} = -2(1 + x + y + xy)$
$S_3^1 = [4, 5, 10, 11]$	$u_\beta _{S_3^1} = 8x(z + 1)$
$S_3^2 = [10, 11, 15, 16]$	$u_\beta _{S_3^2} = 11.5xz$
$S_3^3 = [5, 6, 11, 12]$	$u_\beta _{S_3^3} = 4.5(1 + x + z + xz)$

$$f = \begin{cases} 8x(yz + z + y + 1), & \Omega^1 \\ 0, & \Omega^2 \\ 3xz(y + 1), & \Omega^3 \end{cases}$$

4.3 Тестирование на сетке с внутренним узлом

4.3.1 Описание задачи



где

$$\begin{aligned}
 S_1^1 &= [1, 2, 28, 29] \\
 S_1^2 &= [2, 3, 20, 21] \\
 S_1^3 &= [7, 8, 32, 33] \\
 S_1^4 &= [1, 3, 7, 9] \\
 S_1^4 &= [8, 9, 26, 27] \\
 S_2^1 &= [1, 7, 28, 32] \\
 S_2^2 &= [3, 9, 21, 27] \\
 S_3^1 &= [28, 29, 32, 33] \\
 S_3^2 &= [20, 26, 29, 33] \\
 S_3^3 &= [20, 21, 26, 27]
 \end{aligned}$$

Значения коэффициентов λ и γ выбраны в виде:

$$\lambda = 5 \qquad \gamma = 0.4 \qquad (54)$$

Решение - полином вида

$$u = 5 + 0.2x + y + 30z + 0.5xy + xz + 10yz + xyz \qquad (55)$$

Исходя из этого

$$f = 0.4(5 + 0.2x + y + 30z + 0.5xy + xz + 10yz + xyz) \quad (56)$$

$$g = 2x + 0.04x^2 + 0.4xy + 12xz + 0.1x^2y + 0.2x^2z + 4xyz + 0.2x^2yz \quad (57)$$

$$u|_{S_1} = 0 \quad (58)$$

$$\theta|_{S_2^1} = -1 - 2.5y - 5z - 5yz \quad (59)$$

$$\theta|_{S_2^2} = 1 + 2.5y + 5z + 5yz \quad (60)$$

При условии, что $\beta = 10$:

$$u_\beta|_{S_3^1} = 7xy + 6.7x + 66y + 200 \quad (61)$$

$$u_\beta|_{S_3^2} = 13.5yz + 2.75y + 33.5z + 5.7 \quad (62)$$

$$u_\beta|_{S_3^3} = 5xy + 4.7x + 46y + 140 \quad (63)$$

5 Проведенные исследования и выводы

6 Тексты основных модулей программ